



EIROPAS REĢIONĀLĀS ATTĪSTĪBAS FONDS

**Uzlabota tehnoloģija protonu - neitronu
konvertoru šķidra metāla sistēmu izveidei**

**Projekts Nr. 2DP/2.1.1.0/10/APIA/VIAA/166
(Progresa ziņojums – 4)**

30.09.2011. – 29.02.2012.

Projektā
piedalījās:

1	Platacis	Ernests
2	Bucenieks	Imants
3	Kļukins	Aleksandrs
4	Buligins	Leonīds
5	Romančuks	Alberts
6	Freibergs	Jānis
7	Lipsbergs	Guntis
8	Goldšteins	Linards
9	Kravalis	Kalvis
10	Ziks	Anatolijs
11	Broka	Maija
12	Lūķis	Pēteris
13	Pagasts	Inguss
14	Mauriņš	Dainis

* Kontaktpersona : tel. 67945785; mob. 26513424.
E –pasts: erik@sal.lv

Uzlabota tehnoloģija protonu – neutronu konvertoru šķidra metāla sistēmu izveidei

Mērķis - Projekta specifiskais mērķis – pilnveidot tehnoloģiju to šķidrā metāla sistēmu („mērķu”) izveidei, kurās elementārdalīņu atskaldīšanas process realizējas, padarot šīs mērķa stacijas kompaktākas, līdz ar to enerģētiski un ekonomiski efektīvākas un ekoloģiski drošākas.

Ievads

Neutronu izkliede nodrošina bāzi materiālu struktūras un dināmikas izpētei, kas liek pamatu materiālu zinātnes, kīmijas, zemes zinātnes, fizikas, kondensētas matērijas izpratnei. Neutroni ir sarežģītas instrumentu iekārtas vitāla komponente. Tā ļauj matērijas struktūras un kustības zondēšanu molekulārā un mikroskopiskā līmenī, nodrošina augstākā līmenī kā dzīves procesu tā arī moderno industriālo materiālu funkcionēšanas izpratni.

Aktivitāte Nr. 1 - Neutronu atskaldīšanas prasībām atbilstošo darba materiālu salīdzinājums un atlase.*

Saskaņā ar Projekta „**Uzlabota tehnoloģija protonu – neutronu konvertoru šķidra metāla sistēmu izveidei**” īstenošanas laika grafiku Aktivitātē Nr. 1. „**Neutronu atskaldīšanas prasībām atbilstošo darba materiālu salīdzinājums un atlase**” plānotie darbi bija jāizpilda pirmajos divos ceturkšņos (2010. 01.10. – 2011. 31. 03.). Minētās aktivitātes ietvaros bija jāveic:

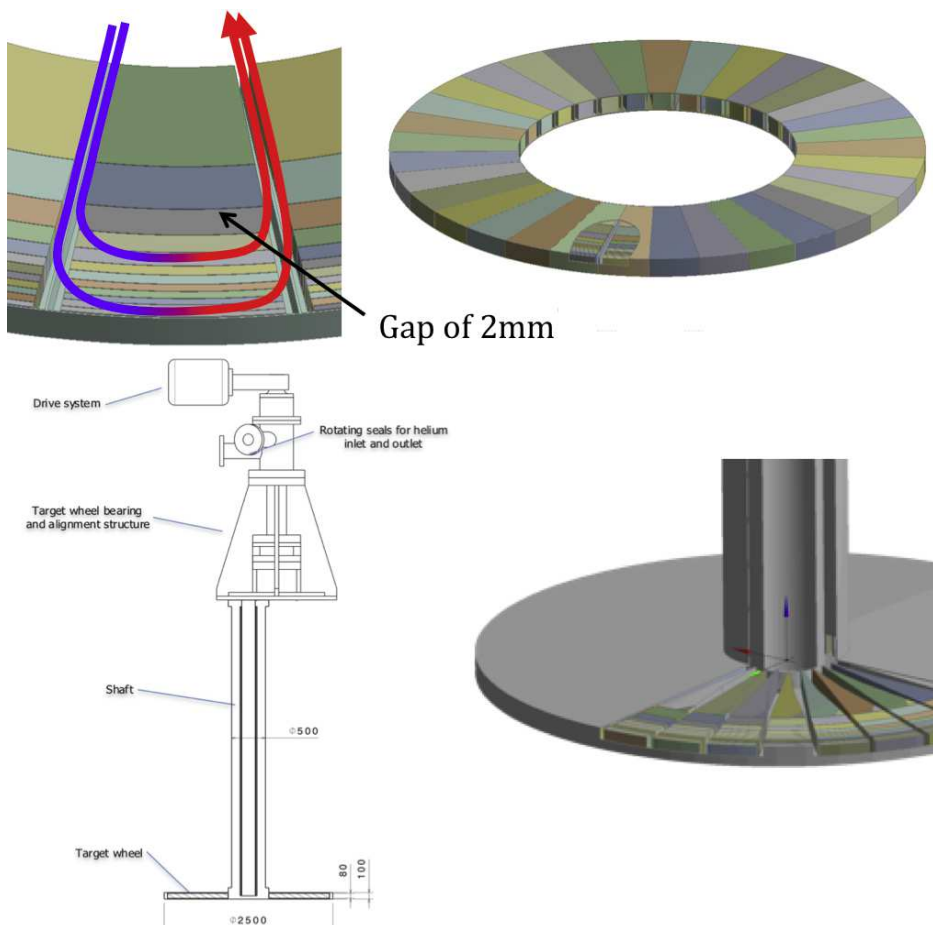
- Neutronu atskaldīšanas iekārtas potenciāli izmantojamo materiālu kodolfizikālo, termisko, hidraulisko īpašību analīze;
- Svina – zelta (Pb Au) eitektikas ieguves tehnoloģijas izstrāde un pārbaude;
- Konstrukcijas materiālu un Pb Au eitektikas savstarpējās mijiedarbības izvērtēšana.

*Aktivitātē Nr. 1 plānotie darbi izpildīti un saskaņā ar vienošanās Nr.2010/0260/2DP/2.1.1.0/10AOIA/VIAA/166 punktu 2.12. „, Sasniedzamie rezultāti aktivitāšu ietvaros”: iesniegts **Akts – Atskaite**.

Aktivitāte Nr.2. Prototipa izvēlēto mezglu optimizēšana ar skaitlisku datorsimulāciju palīdzību.

Cietā protonu mērķa termo-hidraulisko parametru novērtējums. Stacionārs mērķis.

Patreizējā Eiropas neutronu avota (ESS) protonu mērķa viena no koncepcijām paredz cietā mērķa izmantošanu [1], sk.2.1.att.

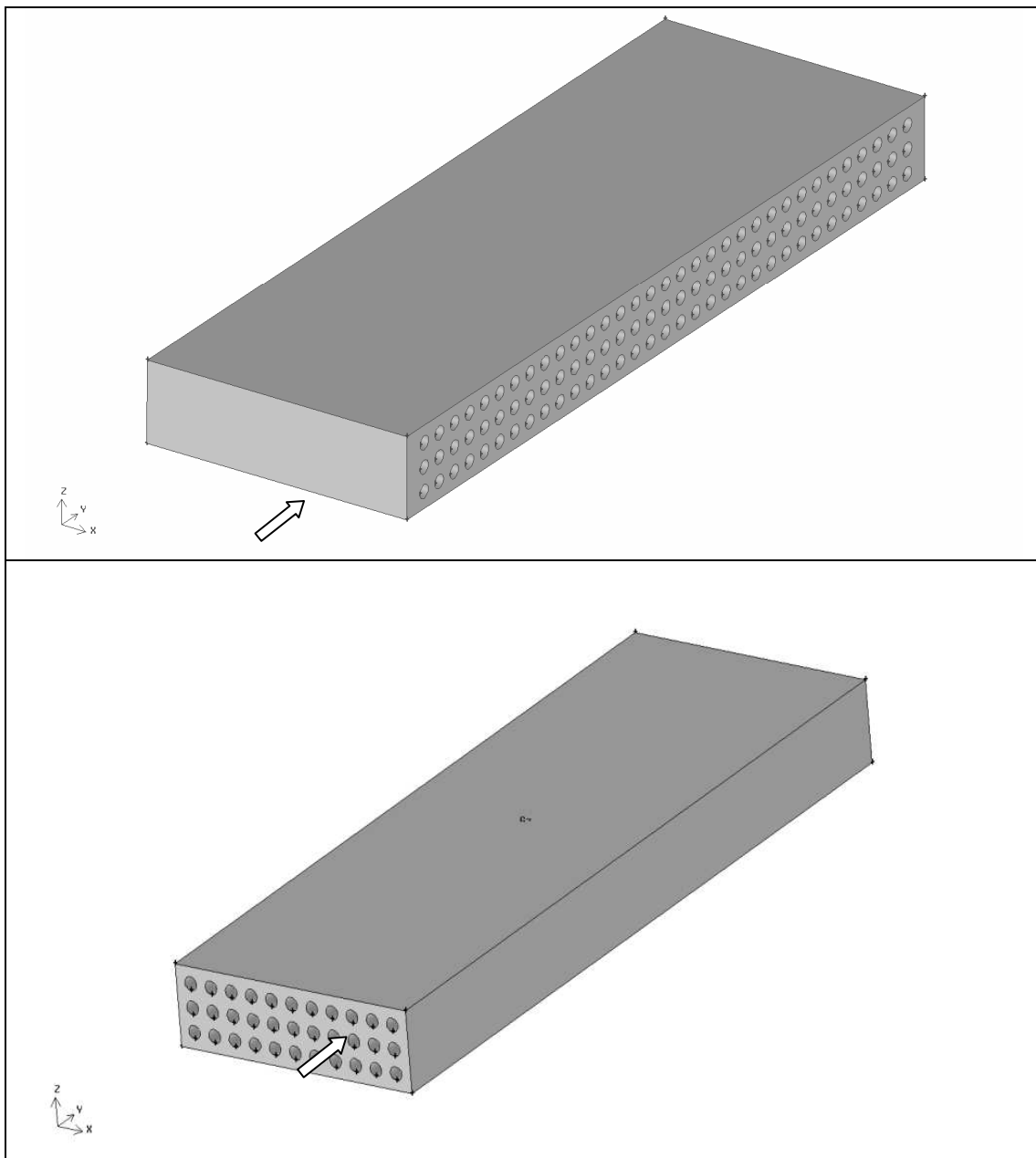


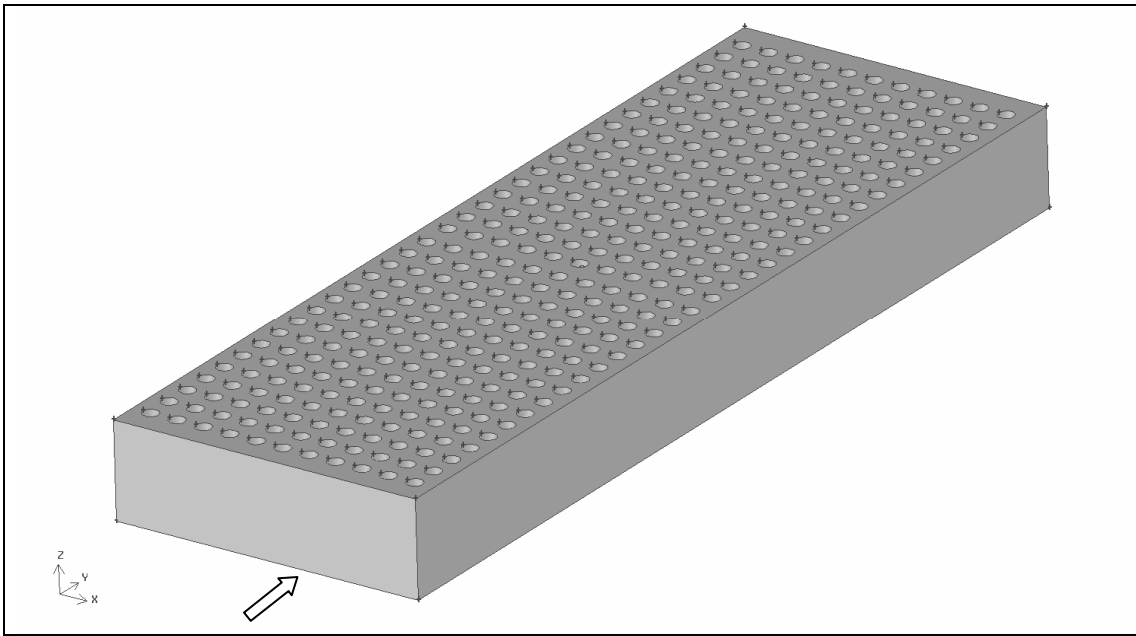
2.1.att. ESS cietā protonu mērķa konstrukcija [1].

Protonu kūlis mijiedarbojas ar volframa plāksnēm, kas tiek dzesētas ar siltumnesēja palīdzību. Par siltumnesēju plānots izmantot hēliju, tiek apskatīts arī ūdens variants. Neviens no šiem siltumnesējiem nekalpo kā neutronus ģenerējoša vide, tādēļ mērķa efektivitāti lielā mērā nosaka tilpuma daļa, ko aizņem metāls, jo tā mazāka, jo zemāka mērķa spēja ģenerēt neutronus no tilpuma vienības. Metāla tilpuma daļas palielināšana samazina siltumnesējam pieejamo tilpumu dzesēšanas kanālu izveidošanai, kas noved pie maksimālās temperatūras un spiediena starpības pieauguma. Alternatīvs risinājums ir izmantot kā siltumnesēju šķidro metālu, kas pats vienlaicīgi kalpo arī kā neutronu ģeneratora. Tas ļauj samazināt mērķa cietā metāla tilpuma daļu un uzlabo mērķa dzesēšanas apstāklus.

Tādējādi optimālu cietā mērķa konstrukciju nosaka virkne faktoru un šīs problēmas atrisināšanai nepieciešama daudzkārtēja siltuma pārneses uzdevumu risināšana sarežģītā ģeometrijā. Šajā situācijā ir lietderīgi apskatīt vienkāršotus siltuma pārneses

uzdevumu formulējumus, kas apraksta svarīgākos mērķa darbības aspektus. Nemot vērā to, ka dzesēšanas kanāli veido sistēmu, kas ir paralēla un perpendikulāra stara virzienam (sk.2.1.att.), šajā etapā apskatīti mērķa modeļi, kuros dzesēšana notiek kanālos, kas orientēti stara virzienā un perpendikulāri tam (sk.2.2.att.).





2.2.att. Apskatītās kanālu sistēmu orientācijas x, y un z ass virzienā. Protonu kūļa virziens sakrīt ar y ass virzienu un ir norādīts ar bultu.

Šādās sistēmās siltuma pārnese procesus raksturo ar empīrisku sakarību palīdzību [2]. Hidraulisko pretestību raksturo ar berzes koeficienta palīdzību:

$$f = \frac{1}{4} \left(\frac{D}{L} \right) \left(\frac{p_0 - p_L}{\frac{1}{2} \rho u_m^2} \right), \quad (1)$$

kuru izsaka ar empīriskas sakarību, kas apkopo eksperimentālos datus:

$$f = \frac{0.0791}{Re^{1/4}}. \quad (2)$$

Reinoldsa skaitlis nodefinēts kā

$$Re = \frac{Du_m \rho}{\mu}, \quad (3)$$

kur D ir kanāla diametrs, ρ dzesētāja blīvums, μ ir dinamiskā viskozitāte, savukārt siltuma pārnesi raksturo Nusselta skaitlis

$$Nu_D = \frac{hD}{k}, \quad (4)$$

kas definēts izmantojot siltuma plūsmu no cilindriskā kanāla sienas

$$q_s = h(T_s - T_m), \quad (5)$$

kur h – siltumapmaiņas koeficients.

Temperatūras un ātruma vidējās vērtības ir ievestas atbilstoši formulām:

$$T_m = \frac{2}{u_m r_0^2} \int_0^{r_0} u Tr dr \quad (6)$$

un

$$u_m = \frac{2}{r_0^2} \int_0^{r_0} u(r, x) r dr . \quad (7)$$

Lielu un vidēju Prandtļa skaitļu (hēlijs un ūdens) gadījumā Nusselta skaitļa korelācijai tiek izmantota sakarība [3]:

$$Nu_D = 0.023 Re_D^{4/5} \text{Pr}^{0.4} \quad q_s = \text{const}, \quad (8)$$

bet mazu Prandtļa skaitļu gadījumā (šķidrie metāli) [4]:

$$Nu_D = 0.685 Pe^{0.372612} . \quad (9)$$

T_s apraksta sienas temperatūru, kas ir palielinās plūsmas virzienā. Viena kanāla pārnestā siltuma jauda ir

$$P_i = 0.25\pi c u_m D^2 \rho \Delta T , \quad (10)$$

kur c ir siltumnesēja īpatnējā siltumietilpība, ΔT ir temperatūras starpība starp kanāla izejas un ieejas temperatūrām. Visu kanālu pārnestā jauda ir

$$P = iP_i , \quad (11)$$

kur i ir kanālu skaits. Kanālu skaitu nosaka nepieciešamā kanālu laukuma un attiecīgās mērķa skaldnes laukuma attiecība, kas atbilst izvēlētai metāla tilpuma daļai. Aprēķinos izmantota cietā metāla tilpuma daļa 0.75 hēlija un ūdens gadījumā un 0.5 gallija gadījumā. Kopējā jauda P visos gadījumos ir 3 MW.

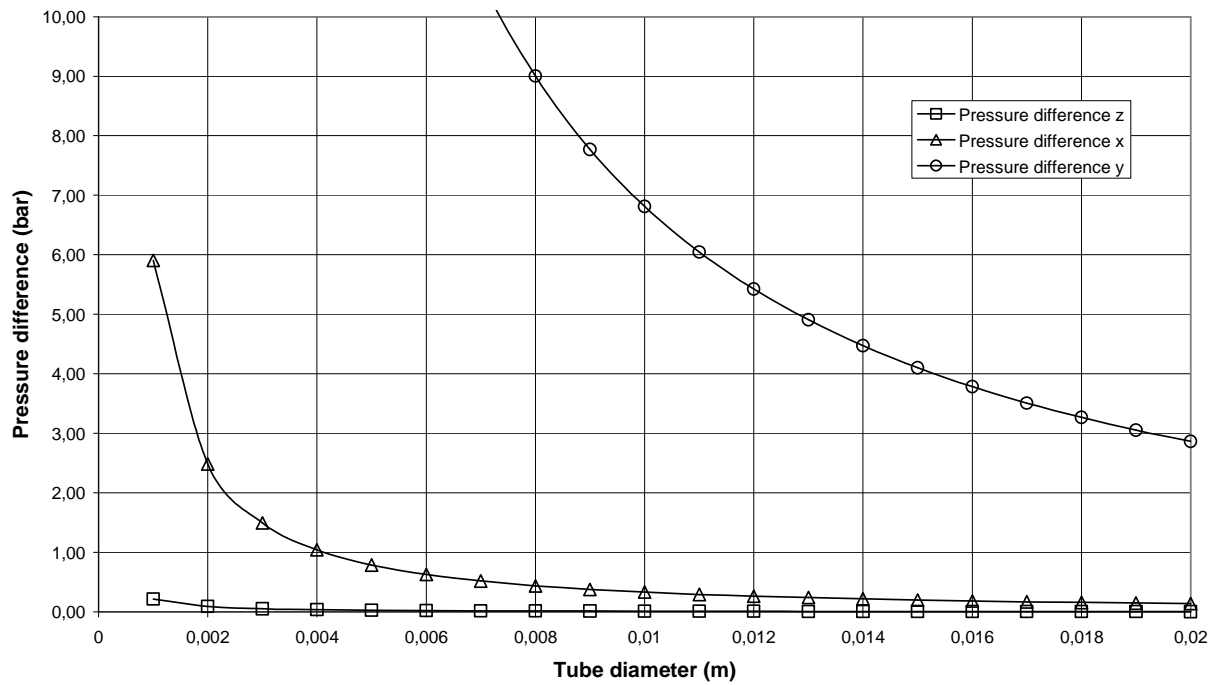
Dzesēšana ar hēliju.

Dzesējot mērķi ar hēliju izmantota ESS noteiktā [1] temperatūru starpība $\Delta T = 200K$, kas atbilst plūsmai

$$Q = 0.25\pi u_m D^2 = 6000 \frac{l}{s} . \quad (12)$$

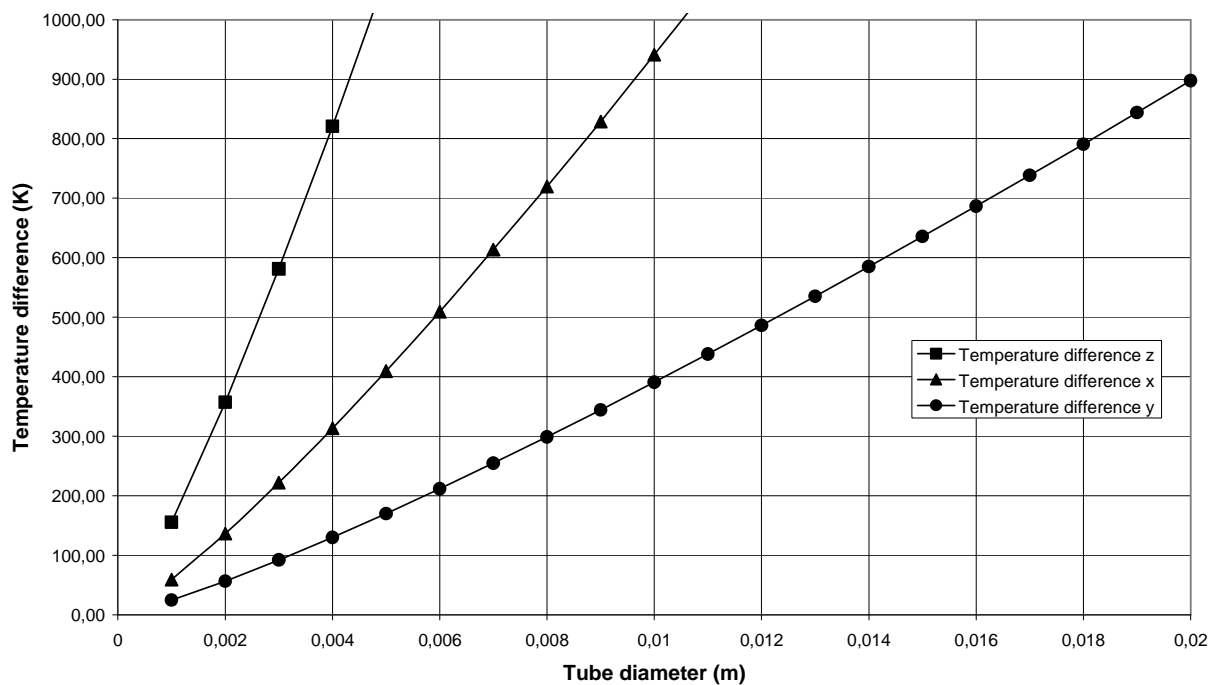
Kā redzams no 2.3. un 2.4.att. kanālu orientācija z ass virzienā raksturojas ar vismazāko spiediena starpību un vislielāko temperatūras starpību. Nosakot ierobežojumu uz maksimālo sienas temperatūru, var noteikt maksimālo pieļaujamo kanāla diametru. Tā, piemēram, ierobežojot temperatūras starpību starp sienu un siltumnesēju ar $600 K$, kanāla diametrs nevar būt lielāks par 3 mm. Otrs robežgadījums ir kanālu orientācija y ass virzienā. pie šī paša temperatūras starpības ierobežojuma kanāla diametrs nevar pārsniegt 14 mm. Šajā gadījumā novērojams ievērojams spiediena kritums, kas sastāda 4.5 bar un pie 7 mm jau pārsniedz 10 bar.

Volume fraction 0.75 He cooled 3 MW heat power 6 m³/s v_x=667m/s, v_y=2000m/s, v_z=200m/s



2.3.att. Spiediena starpība dažādām kanālu orientācijām hēlija dzesēšanas gadījumā.

Volume fraction 0.75 He cooled 3 MW heat power 6 m³/s v_x=667m/s, v_y=2000m/s, v_z=200m/s

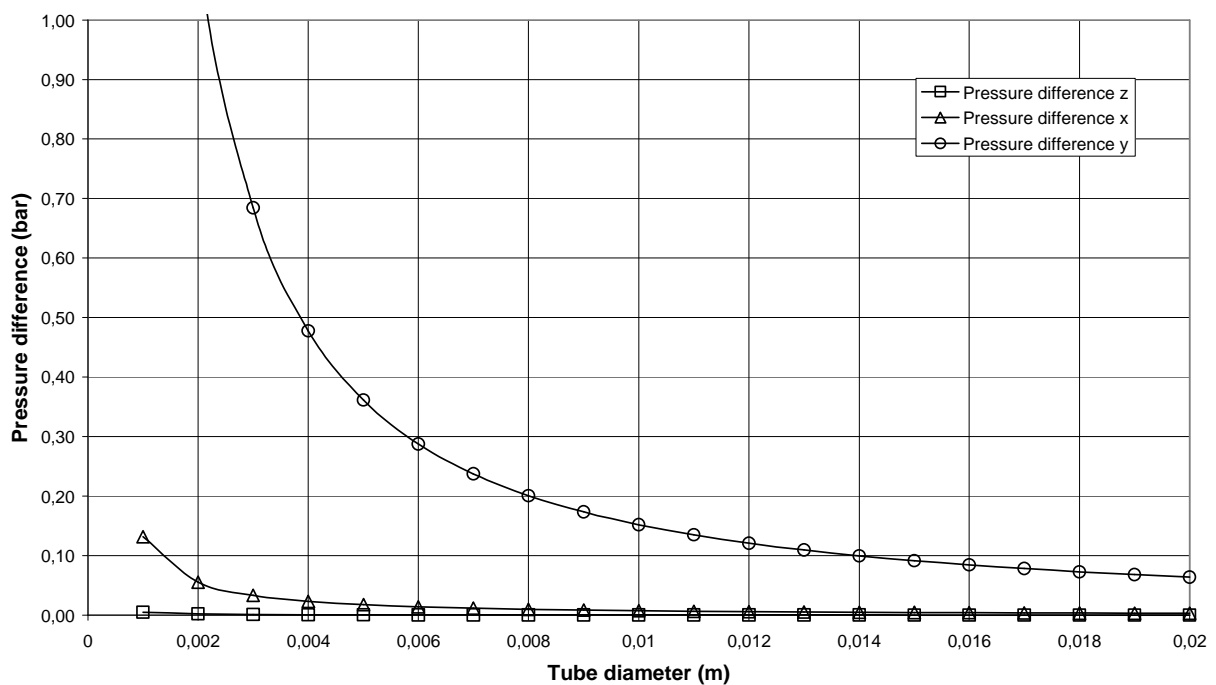


2.4.att. Temperatūras starpība dažādām kanālu orientācijām hēlija dzesēšanas gadījumā.

Dzesēšana ar ūdeni.

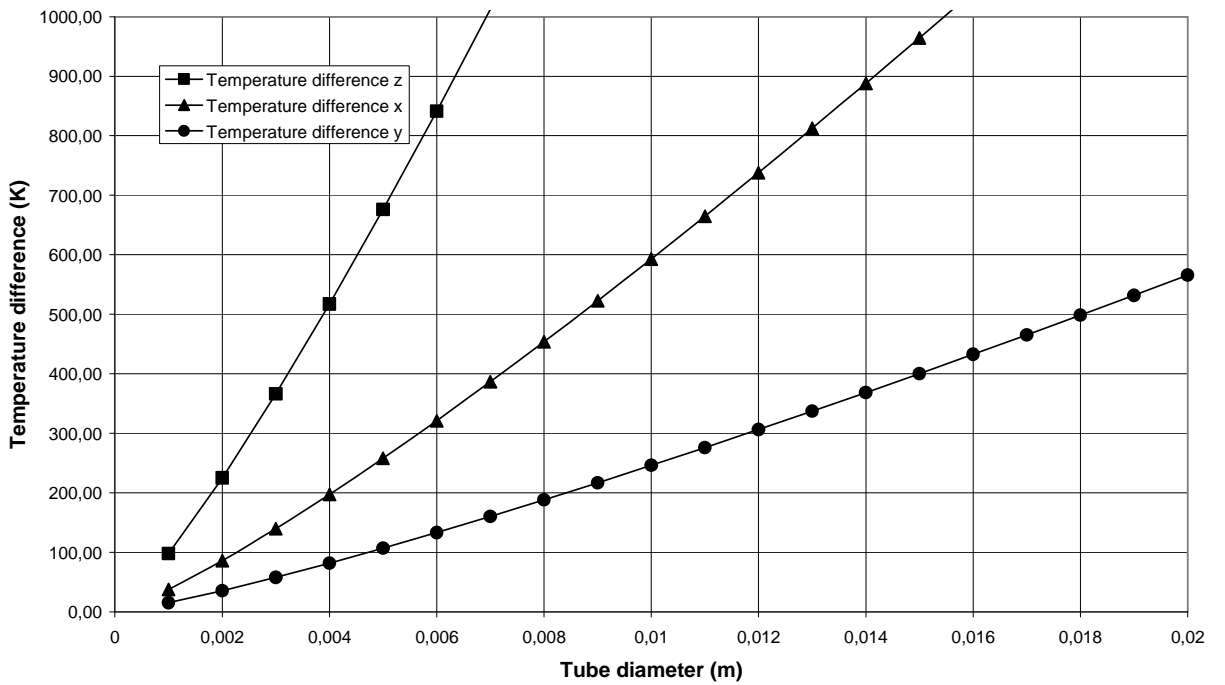
Izmantojot kā dzesētāju ūdeni, būtiska loma ir maksimālai temperatūrai, lai nepieļautu ūdens vārīšanos, tādēļ izvēlēta temperatūras starpība $\Delta T = 50K$, kas atbilst plūsmai $Q = 15 \frac{l}{s}$. Pie šādiem parametriem, kā redzams no 2.5. un 2.6.att. spiediena starpība nav noteicošais faktors, kritiska ir temperatūras starpība, lai nepieļautu ūdens vārīšanos kanālu maksimālais diametrs nevar pārsniegt 1-2 mm atkarībā no kanālu orientācijas, vai arī jāpalielina kopējais sistēmas spiediens, lai vārīšanās sāktos pie augstākas temperatūras.

Volume fraction 0.75 H₂O cooled 3 MW heat power dtT=50K, 15 l/s v_x=1.6m/s, v_y=5m/s, v_z=0.5m/s



2.5.att. Spiediena starpība dažādām kanālu orientācijām ūdens dzesēšanas gadījumā.

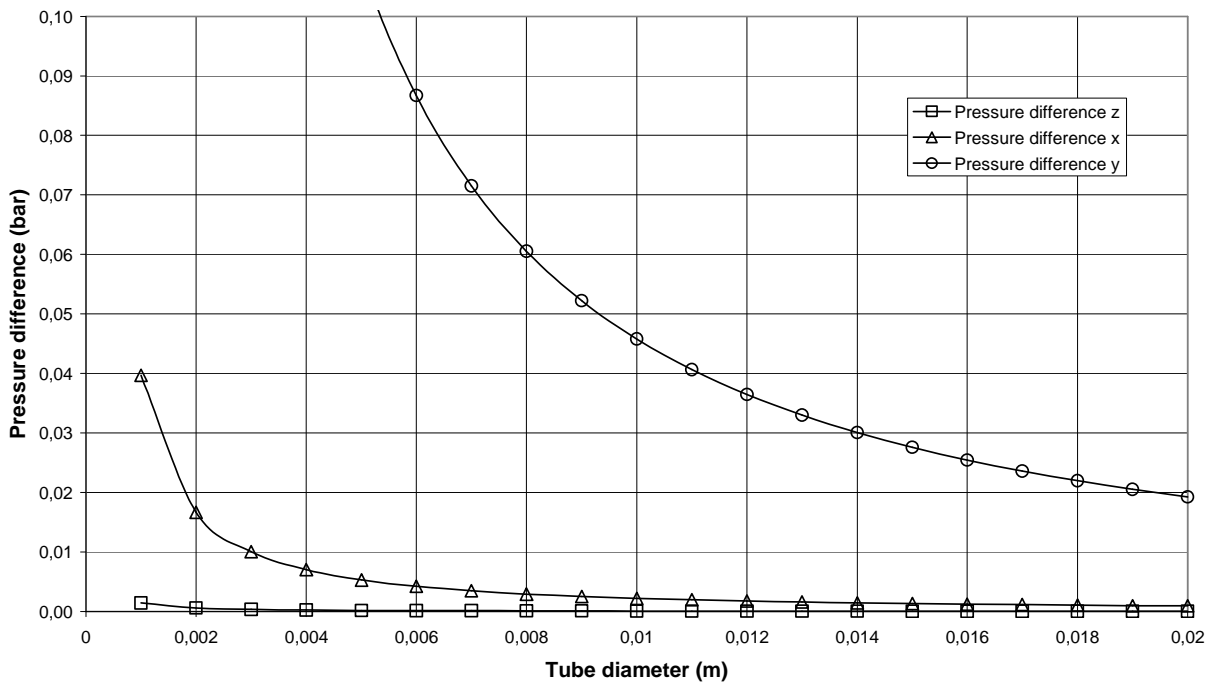
Volume fraction 0.75 H₂O cooled 3 MW heat power $dT=50K$, 15 l/s $v_x=1.6m/s$, $v_y=5m/s$, $v_z=0.5m/s$



2.6.att. Temperatūras starpība dažādām kanālu orientācijām ūdens dzesēšanas gadījumā.

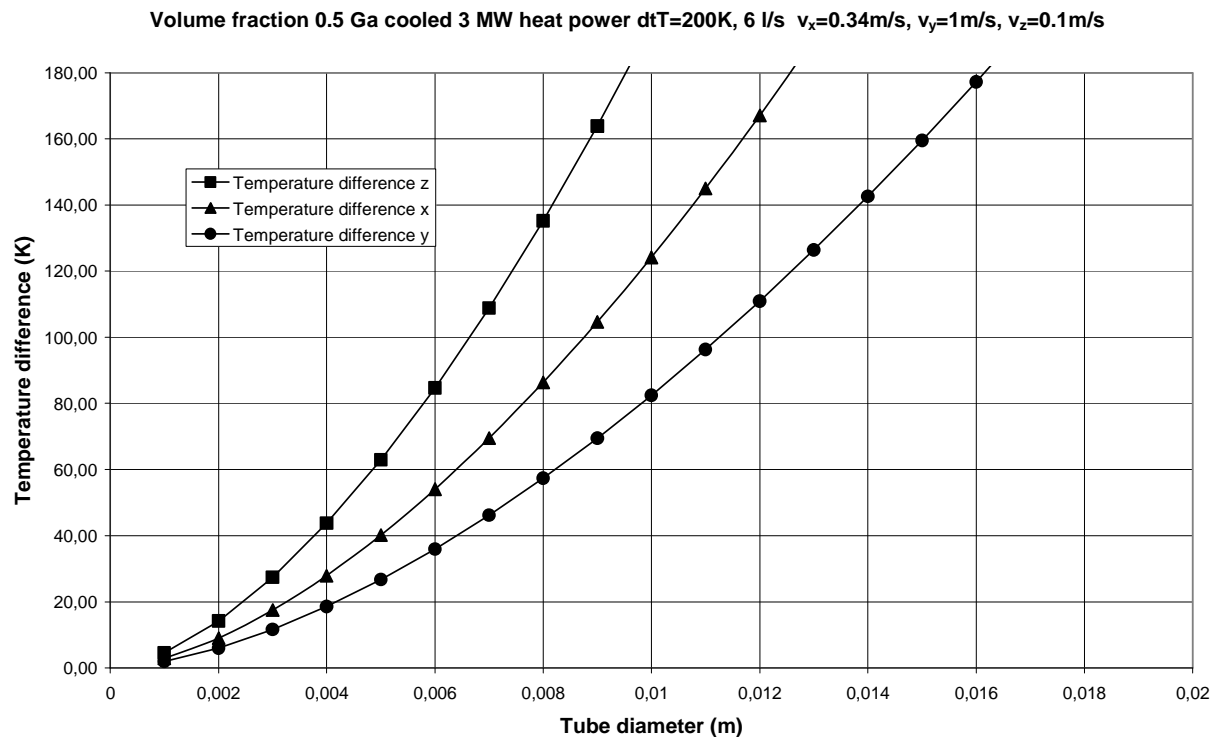
Dzesēšana ar galliju.

Volume fraction 0.5 Ga cooled 3 MW heat power $dT=200K$, 6 l/s $v_x=0.34m/s$, $v_y=1m/s$, $v_z=0.1m/s$



2.7.att. Spiediena starpība dažādām kanālu orientācijām gallija dzesēšanas gadījumā.

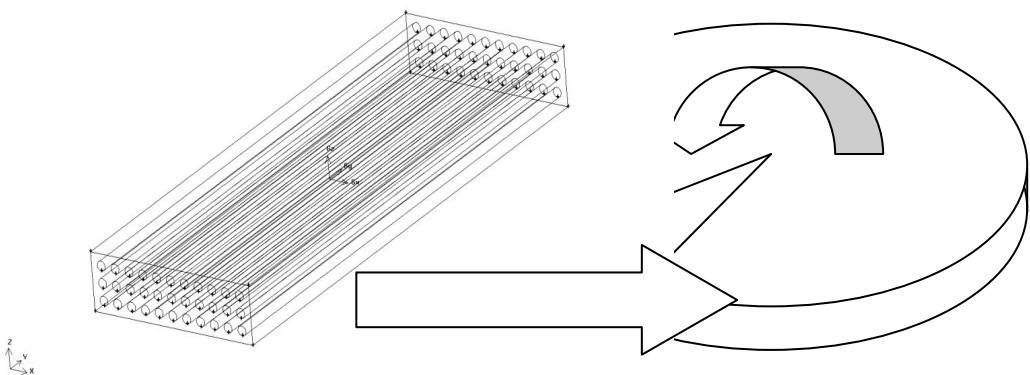
Dzesējot ar galliju, līdzīgi kā hēlija gadījumā pieņemts $\Delta T = 200K$, kas atbilst plūsmai $Q = 6 \frac{l}{s}$. Kā redzams no 2.7. un 2.8.att. ne spiediena ne arī temperatūras starpības nav kritiskas, nepieciešamo jaudu iespējams pārnest ar nelielu spiediena starpību, kas sastāda atmosfēras desmitās daļas pie temperatūras starpības 100-200 K. No siltuma pārneses viedokļa šis dzesēšanas variants ir vispievilcīgākais.



2.8.att. Temperatūras starpība dažādām kanālu orientācijām gallija dzesēšanas gadījumā.

Cietā protonu mērķa termo-hidraulisko parametru novērtējums. Rotējošs mērķis.

Apskatītos mērķa konstruktīvos risinājumus iespējams piemērot rotējošam mērkim. Aktuālā rotējošā mērķa koncepcija [1] paredz rotējošu disku 2.5 m diametrā, kas sadalīts 33 sektoros, tādējādi plūsma katrā sektorā ir 1/33 no kopējās plūsmas. Katrā sektorā izdalās 1/14 daļa no vidējās jaudas, to nosaka protonu kūļa impulsu frekvence. Šie apsvērumi ļauj salīdzināt stacionāra un rotējošā mērķa siltumfizikālās īpašības.



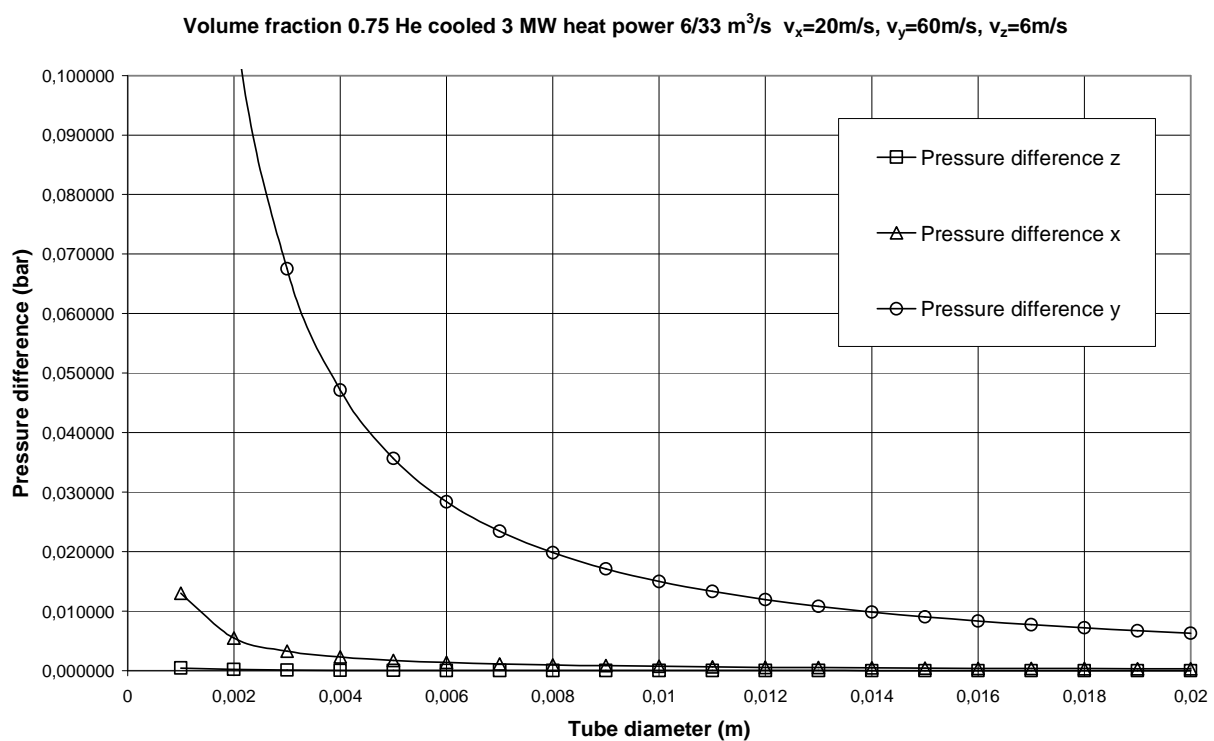
2.9.att. Apskatītās kanālu sistēmu orientācijas x, y un z ass virzienā rotējoša mērķa gadījumā. Mērķis ir sadalīts $n_s=33$ sektoros, 1 sekundē 3 MW vidējā jauda izdalās $n=14$ sektoros.

Rotējošā mērķa ietekme uz spiediena starpību ir acīmredzama un izpaužas spiediena starpības samazinājumā, kas kopumā ir vērtējams pozitīvi. Attiecībā uz temperatūras starpību starp sienu un siltumnesēju atbilde nav acīmredzama, jo, lai arī katrā sektorā ir jaudas samazinājums 14 reizes, plūsma ir samazinājusies 33 reizes, kas noved pie siltumapmaiņas koeficienta h formulā (5) samazinājuma. Kura no tendencēm ir noteicošā, nav acīmredzams, tādējādi no siltumpārneses viedokļa pāreja uz rotējošu mērķi var būt gan izdevīga, gan arī neizdevīga.

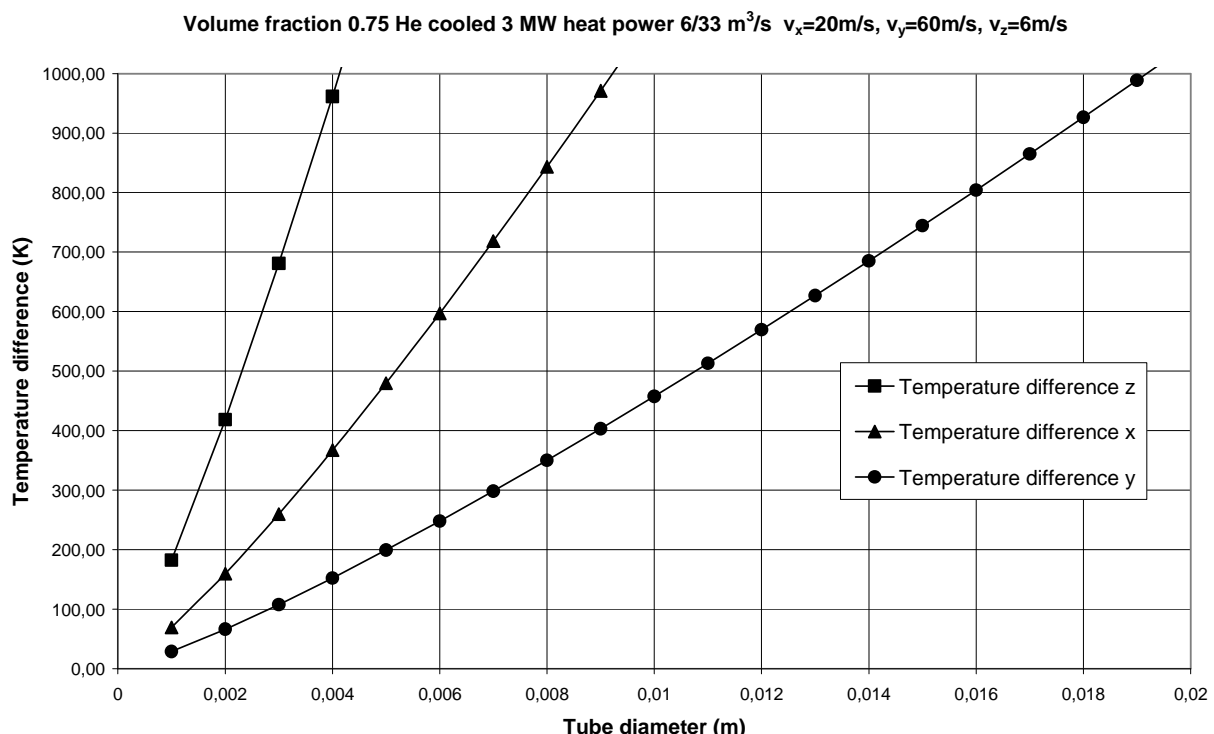
Apskatot dzesēšanu ar hēliju (2.10. un 2.11.att.) un salīdzinot to ar stacionārā mērķa rezultātiem (2.3. un 2.4.att.), redzams, ka siltuma pārneses apstākļi ir mazāk optimālāki, jo pie apskatītā temperatūras starpības ierobežojuma 600 K nepieciešami mazāka diametra kanāli – 12 mm (stacionāram - 14 mm) y virzienam, 6 mm (stacionāram - 7 mm) x virzienam un 2.5 mm (stacionāram - 3mm) z virzienam. Tas ir saistīts ar hēlija siltuma pārneses spēcīgo atkarību no plūsmas ātruma, kas rada lielāku h samazinājumu (apm. 20x, tabulas Pielikumā), nekā 14 kārtējs jaudas samazinājums.

Līdzīga situācija ir arī ar ūdens dzesēšanu (sk.2.12.un 2.13.att.), savukārt gallija gadījumā (sk.2.14. un 2.15.att.) siltuma pārnese ir uzlabojusies. Tas ir skaidrojams ar šķidro metālu mazo Prandtlja skaitli, kas nosaka ievērojami lielāku kondukcijas lomu, tādējādi h samazinājums ir mazāks (apm. 3.5x), nekā jaudas samazinājums sektorā (14x).

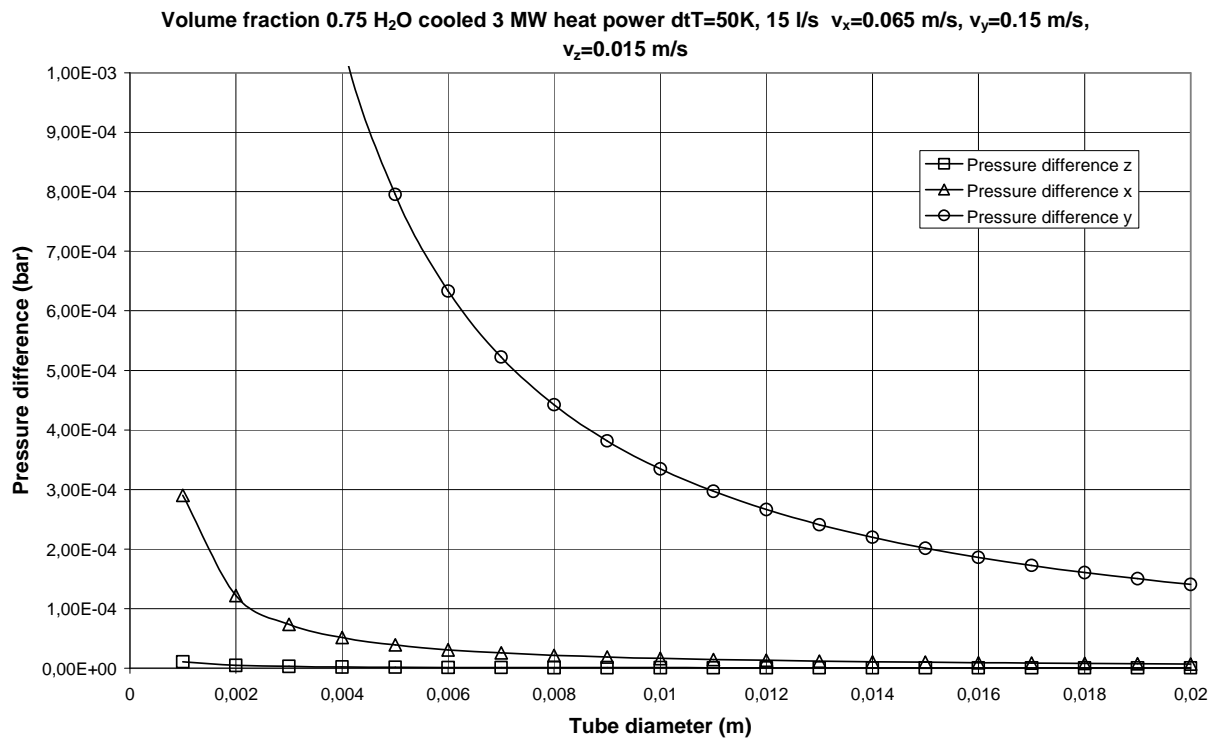
Izmantojot hēliju, rotējošā mērķa konstrukcija daļēji risina tikai lielo ātrumu problēmu, jo kopējā plūsma tiek sadalīta pa sektoriem. Taču plūsmas sadales vietās īpaši jārūpējas par šķērsgrīzuma laukuma palielināšanu, lai novērstu lielos lokālos ātrumus, kas sasniedz simtus metru sekundē, sk. 2.16.att.



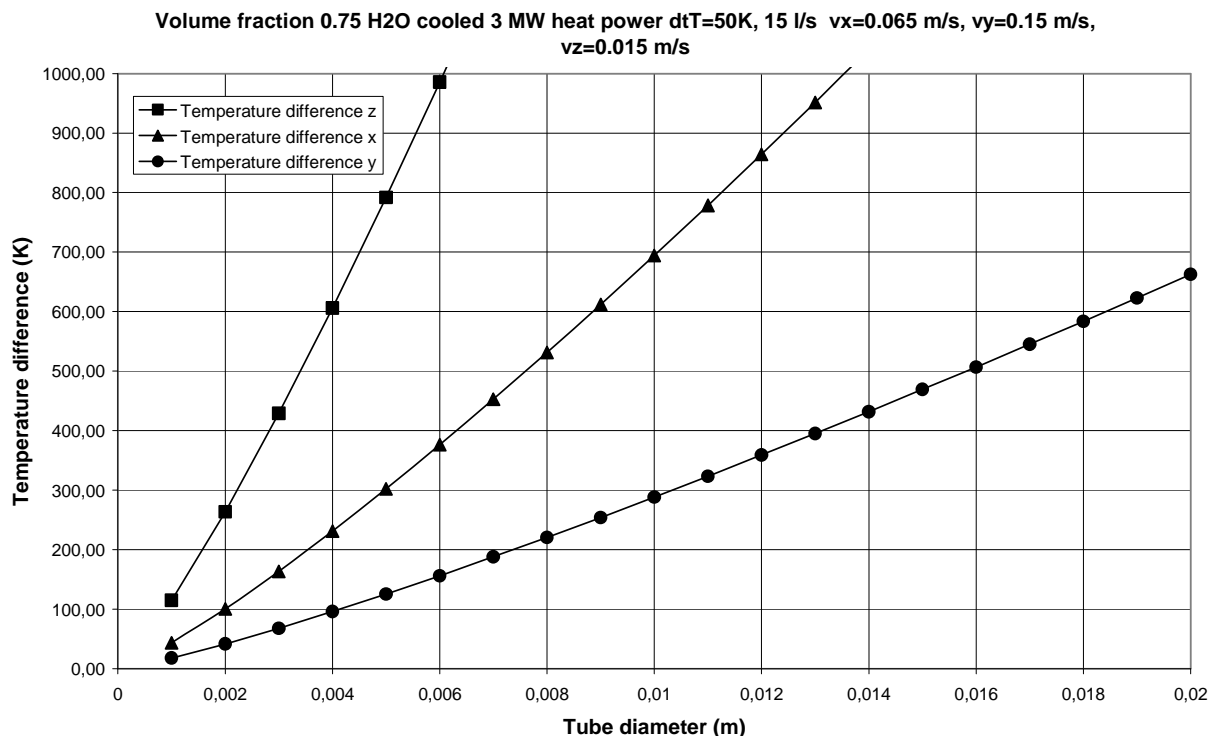
10.att. Spiediena starpība dažādām kanālu orientācijām rotējošā mērķī hēlija dzesēšanas gadījumā.



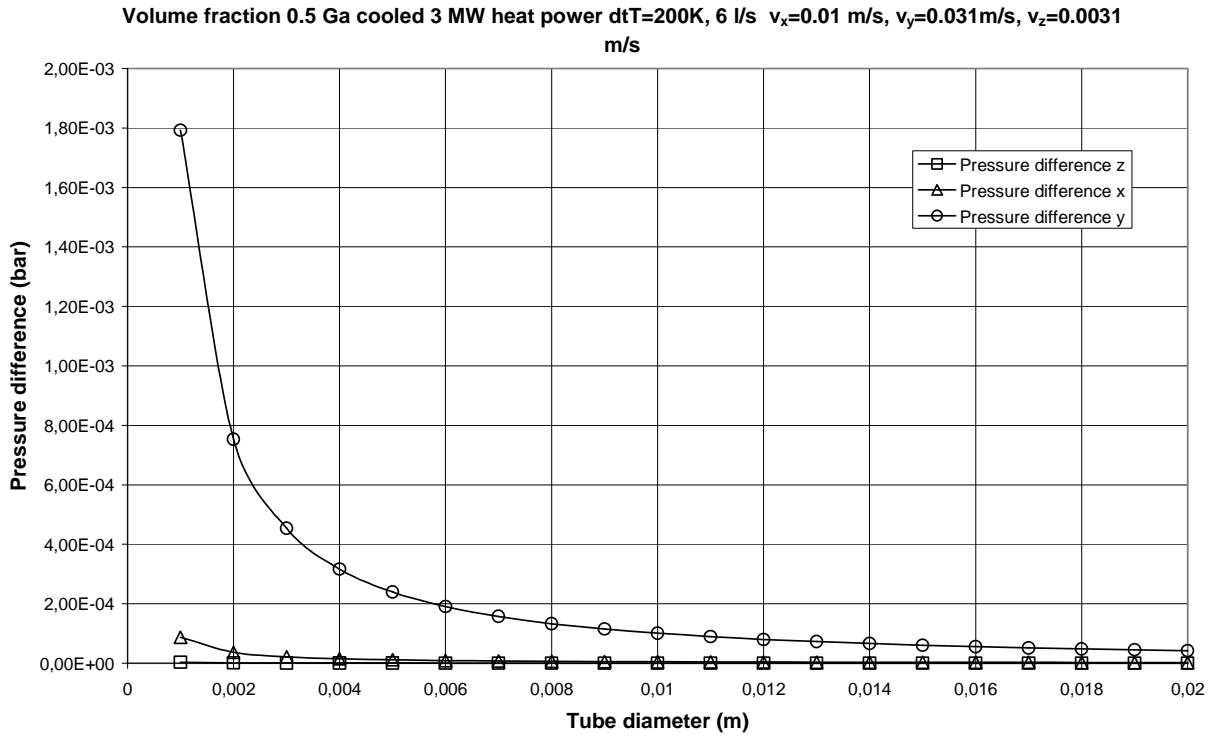
11.att. Temperatūras starpība dažādām kanālu orientācijām rotējošā mērķī hēlija dzesēšanas gadījumā.



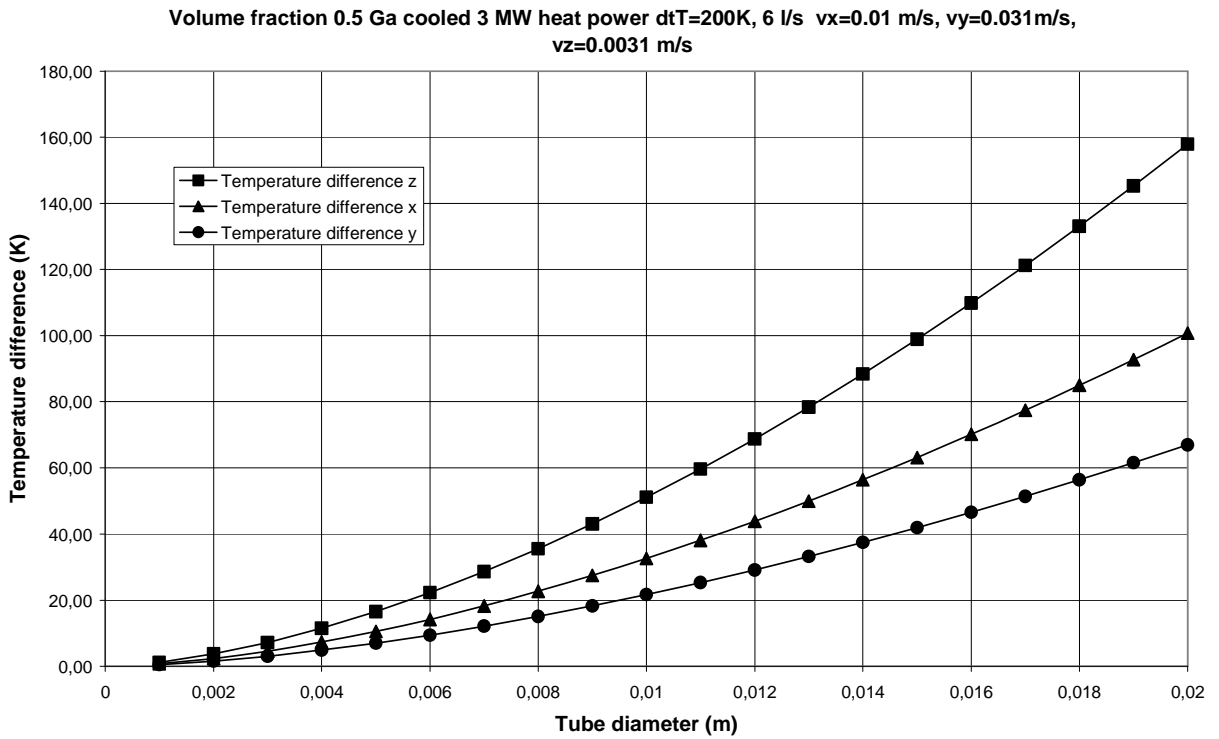
12.att. Spiediena starpība dažādām kanālu orientācijām rotējošā mērķī ūdens dzesēšanas gadījumā.



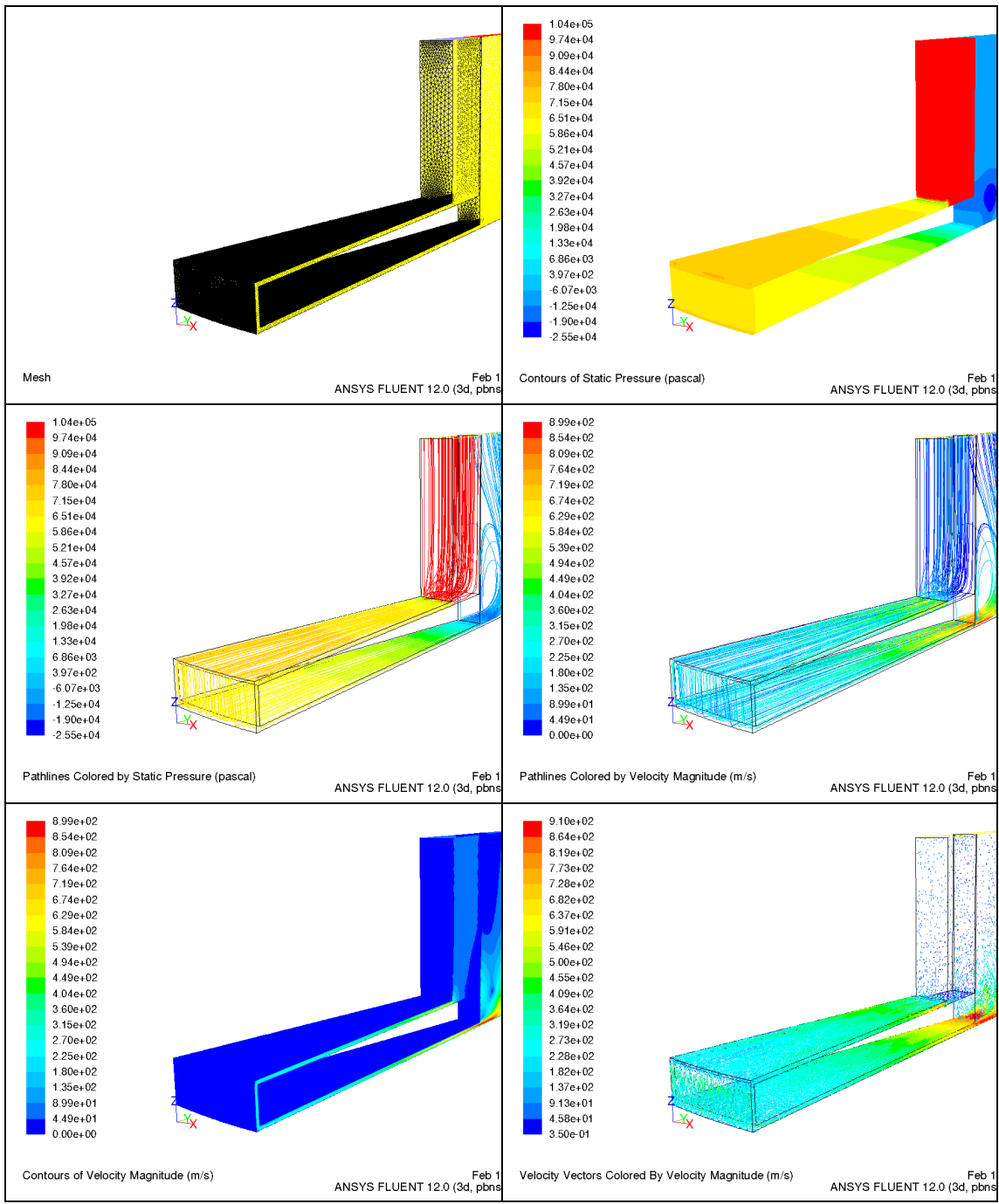
13.att. Temperatūras starpība dažādām kanālu orientācijām rotējošā mērķī ūdens dzesēšanas gadījumā.



14.att. Spiediena starpība dažādām kanālu orientācijām rotējošā mērķī gallija dzesēšanas gadījumā.



15.att. Temperatūras starpība dažādām kanālu orientācijām rotējošā mērķī gallija dzesēšanas gadījumā.



16.att. Ātruma un spiediena sadalījumi rotējošā mērķa sektorā hēlija dzesēšanas gadījumā

Secinājumi.

Izmantojot vienkāršotu cietā stacionārā un rotējošā mērķa modeli, kura parametri atbilst ESS konцепcijai un parametriem, parādīts, ka hēlija vai ūdens dzesētāja gadījumos rotējošā mērķa konstrukcijas izmantošana pasliktina siltuma pārneses apstākļus. Gallija kā dzesētāja izmantošana dod ievērojamas priekšrocības kā spiediena starpības, tā arī temperatūras starpības samazināšanai protonu mērķi. Rotējošas konstrukcijas izmantošana gallija gadījumā vēl vairāk uzlabo siltuma pārneses apstākļus salīdzinājumā ar stacionāro mērķi un tas ir saistīts ar gallija (un citu šķidro metālu) mazo Prandtlā skaitli.

Literatūra

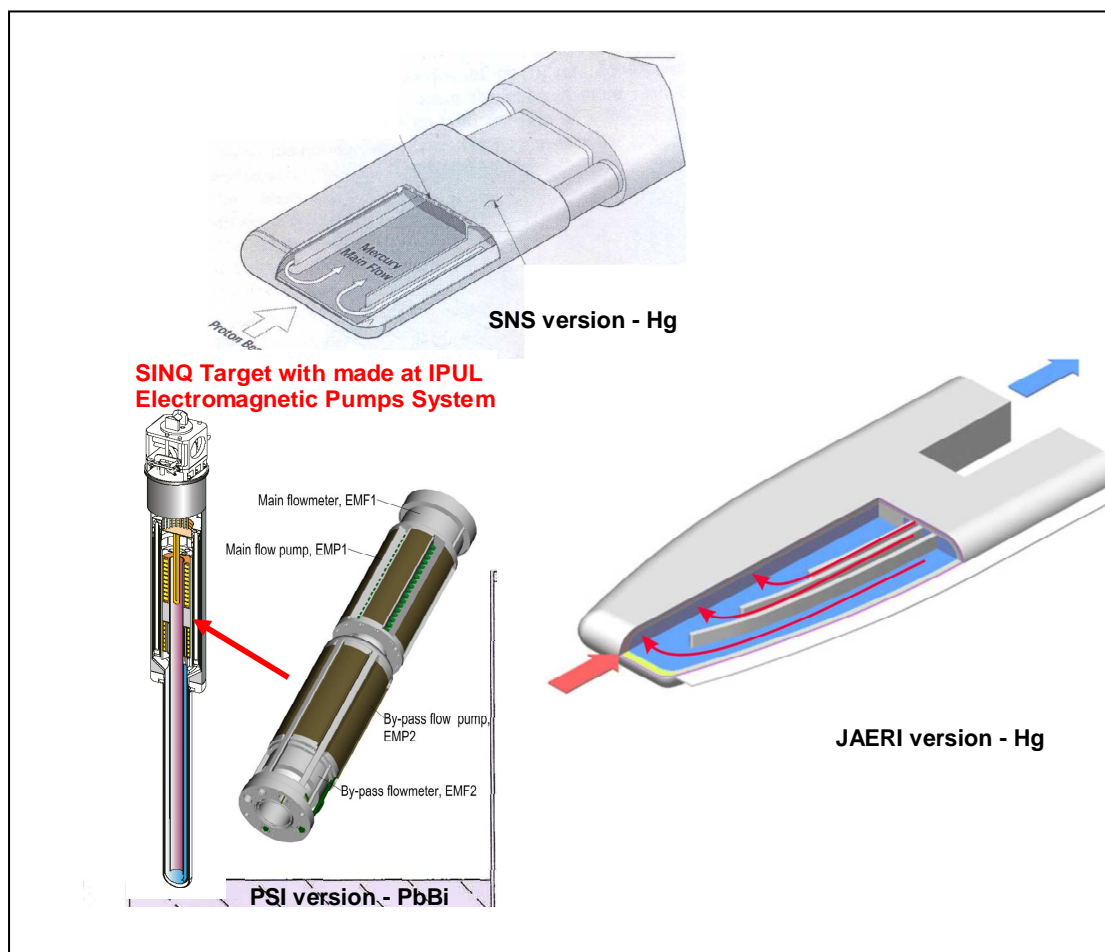
1. ESS Conceptual Design Report, February 6, 2012, ESS-2012-001.ISBN 978-91-980173-0-4
2. F.P.Incropera, D.P.DeWitt. Fundamentals of heat and mass transfer. J.Wiley & Sons, 1990.
3. R.B.Bird, W.E.Stuart, E.N.Lightfoot. Transport Phenomena. J.Wiley & Sons, 2007.
4. Siman-Tov M., Wendel M, Haines J. and Rogers M, "Thermal-Hydraulic Analysis of the Liquid Mercury Target for the National Spallation Neutron Source" Proc of Reactor Safety(ARS'97), Orlando, Florida, (1997-6).

Pielikums

1.Tabula. ESS neitronu avota protonu mērķa plānotie parametri. He, x virziens

L(m)	w(m)	h(m)	V(m3/s)	Sp/S	rho (kg/m3)	mu(Pas)	Pr	k(W/mK)				
0,2	0,6	0,06	6	0,75	0,4807692	1,87E-05	0,7	0,144				
D(m)	Sp0(m2)	Sp(S=w*h)	j	v(m/s)	Re	f	dp(Pa)	dp(bar)	Nu	h	qs(W/m2)	dT(K)
0,001	7,85375E-07	0,009	11459,49	666,6667	1,72E+04	6,91E-03	5,90E+05	5,90	48,74	7019	416666,7	59,36
0,002	3,1415E-06	0,009	2864,873	666,6667	3,44E+04	5,81E-03	2,48E+05	2,48	84,86	6110	833333,3	136,38
0,003	7,06838E-06	0,009	1273,277	666,6667	5,16E+04	5,25E-03	1,50E+05	1,50	117,38	5634	1250000	221,86
0,004	0,000012566	0,009	716,2184	666,6667	6,87E+04	4,89E-03	1,04E+05	1,04	147,76	5319	1666667	313,33
0,005	1,96344E-05	0,009	458,3798	666,6667	8,59E+04	4,62E-03	7,90E+04	0,79	176,63	5087	2083333	409,53
0,006	2,82735E-05	0,009	318,3193	666,6667	1,03E+05	4,41E-03	6,29E+04	0,63	204,37	4905	2500000	509,69
0,007	3,84834E-05	0,009	233,8672	666,6667	1,20E+05	4,25E-03	5,19E+04	0,52	231,20	4756	2916667	613,26
0,008	0,000050264	0,009	179,0546	666,6667	1,37E+05	4,11E-03	4,39E+04	0,44	257,26	4631	3333333	719,84
0,009	6,36154E-05	0,009	141,4752	666,6667	1,55E+05	3,99E-03	3,79E+04	0,38	282,68	4523	3750000	829,12
0,01	7,85375E-05	0,009	114,5949	666,6667	1,72E+05	3,88E-03	3,32E+04	0,33	307,54	4429	4166667	940,86
0,011	9,50304E-05	0,009	94,70656	666,6667	1,89E+05	3,79E-03	2,95E+04	0,29	331,91	4345	4583333	1054,87
0,012	0,000113094	0,009	79,57982	666,6667	2,06E+05	3,71E-03	2,64E+04	0,26	355,83	4270	5000000	1170,96
0,013	0,000132728	0,009	67,80766	666,6667	2,23E+05	3,64E-03	2,39E+04	0,24	379,36	4202	5416667	1289,02
0,014	0,000153934	0,009	58,46681	666,6667	2,41E+05	3,57E-03	2,18E+04	0,22	402,53	4140	5833333	1408,90
0,015	0,000176709	0,009	50,93108	666,6667	2,58E+05	3,51E-03	2,00E+04	0,20	425,38	4084	6250000	1530,51
0,016	0,000201056	0,009	44,76365	666,6667	2,75E+05	3,45E-03	1,85E+04	0,18	447,92	4031	6666667	1653,75
0,017	0,000226973	0,009	39,65223	666,6667	2,92E+05	3,40E-03	1,71E+04	0,17	470,17	3983	7083333	1778,54
0,018	0,000254462	0,009	35,36881	666,6667	3,09E+05	3,35E-03	1,59E+04	0,16	492,17	3937	7500000	1904,82
0,019	0,00028352	0,009	31,74375	666,6667	3,27E+05	3,31E-03	1,49E+04	0,15	513,93	3895	7916667	2032,50
0,02	0,00031415	0,009	28,64873	666,6667	3,44E+05	3,27E-03	1,40E+04	0,14	535,46	3855	8333333	2161,53

nosacīti vienkāršo mērķa konstrukciju. Un vēl viens arguments par labu šķidrajam mērķim ir lielā siltumnesēja masa. Tas samazina šķidrā metāla radioaktivitātes līmeni ilgākā laika periodā un līdz ar to atvieglo mērķa nomaiņu ,apkopi, remontu. Protams, arī šķidrā metāla mērķim ir savi mīnusi, jo ekspluatācijas gaitā var rasties šķidrā metāla noplūde, dažādi radioaktīvie izotopi, piemēram, polonijs u.c. Nēmot vērā iepriekš minētos apsvērumus, šķidrā metāla mērķis ir izvēlēts kā rezerves variants arī 5 MW jaudīgajam atskaldīto neutronu projektam Lundā (Zviedrijā). Līdz ar to ir ļoti aktuāla problēma izvērtēt dažādas mērķu konstrukcijas un variantus darbas pējīgus sevišķi smagos ekspluatācijas apstākļos – radiācija, nosacīti augstas darba temperatūras, konstrukcijas materiālu korozija, erozija u.c. Attēlā 4.1. parādīti ekspluatācijā pārbaudīti vairāki mērķu varianti, kuri tomēr strādā atskaldīto neutronu iekārtās, kurās protonu staru kūla jauda nepārsniedz 1MW. Minētajos mērķos protonu staru kūlis iedarbojas perpendikulāri mērķa virsmai. Mērķa aktīvais laukums aptuveni ir $20.0 \times 6.0 \text{ cm}^2$. Līdz ar to slodze uz vienu kvadrātcentimetru sastāda gandrīz 10 kW. Pie tam jāatzīmē, ka izskatīto mērķu darba resurss ir diezgan ūss – tikai daži mēneši. Pēc tam mērķis ir jānomaina. Tā ir darbietilpīga, dārga un smaga procedūra. Darbi notiek speciālā ”karstā” kamerā un visas operācijas tiek veiktas distanciāli ar speciālu mehānismu palīdzību.

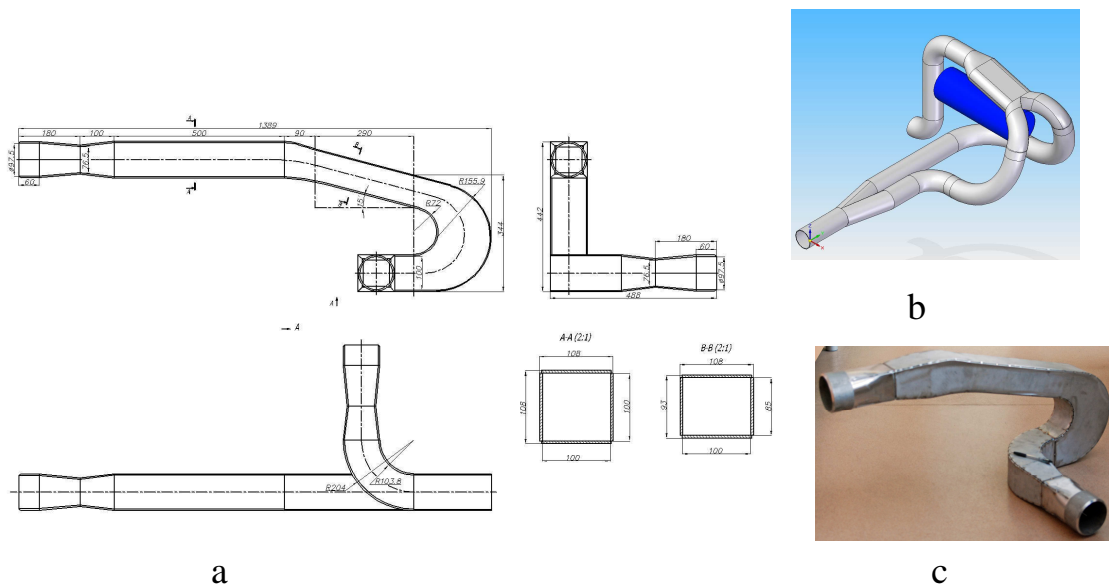


Att. 4.1. Šķidrā metāla mērķa varianti.
1. Trīsplūsmu dzīvsudraba mērķis, Okridža, ASV; 2. Šķērsplūsmas dzīvsudraba mērķis, Jaeri, Japāna; 3. Vertikālais svina – bismuta mērķis, PSI, Šveice.

Tāpēc ļoti aktuāla problēma ir atrast jaunu mērķa risinājumu. Perspektīvs risinājums varētu būt, kad protonu staru kūlis iedarbojas nevis perpendikulāri mērķa virsmai, bet slīpi, att. 4.2. Tādā gadījumā palielinās mērķa virsma uz kuru iedarbojas staru kūlis un līdz ar to samazinās slodze.

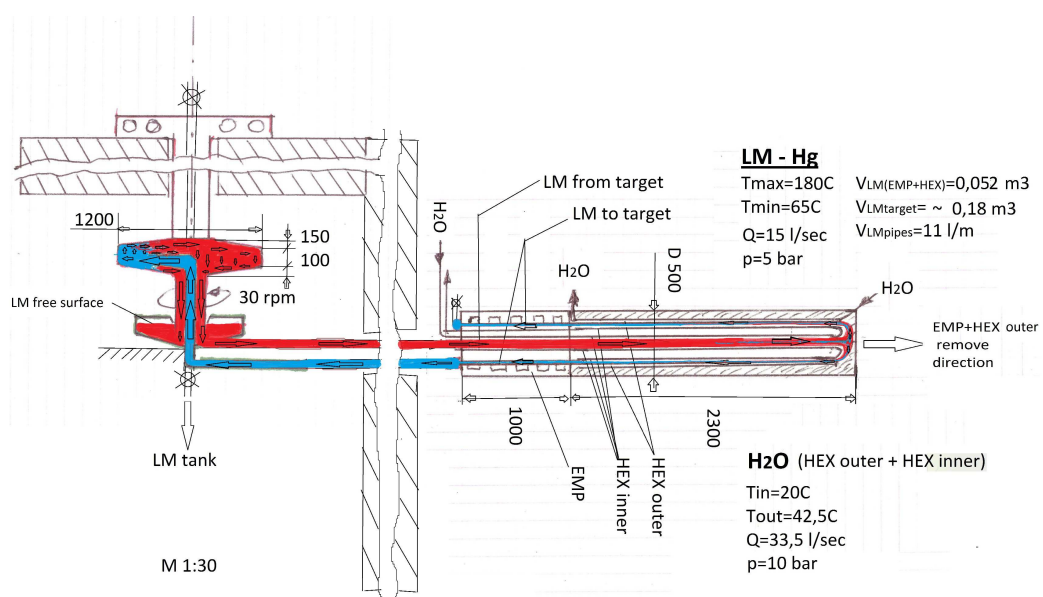
Ļoti interesants risinājums ir rotējošs šķidrā metāla mērķis, att.4.3. Par cik protonu staru kūlis darbojas impulsu režīmā, ir iespēja nodrošināt tādu mērķa rotacijas ātrumu, lai katrs nākošais protonu staru impulss iedarbotos uz jau atdzesētu mērķa sektoru. Protams tāda mērķa konstrukcija ir sarežģīta, it īpaši pievadmehānisms, toties tā darba mūzs būtu ievērojami ilgāks.

Bez tam konkurētspējīgs varētu būt arī rotējošs cietā metāla mērķis dzesēts nevis ar hēliju, vai ūdeni, bet gan ar šķidru metālu, piemēram galliju, (sk. Aktivitāti Nr. 2).



Att. 4.2. METALIC mērķa modulis.

a - moduļa geometriskie izmēri; b - moduļa shēma; moduļa skats mērogā 1:2.



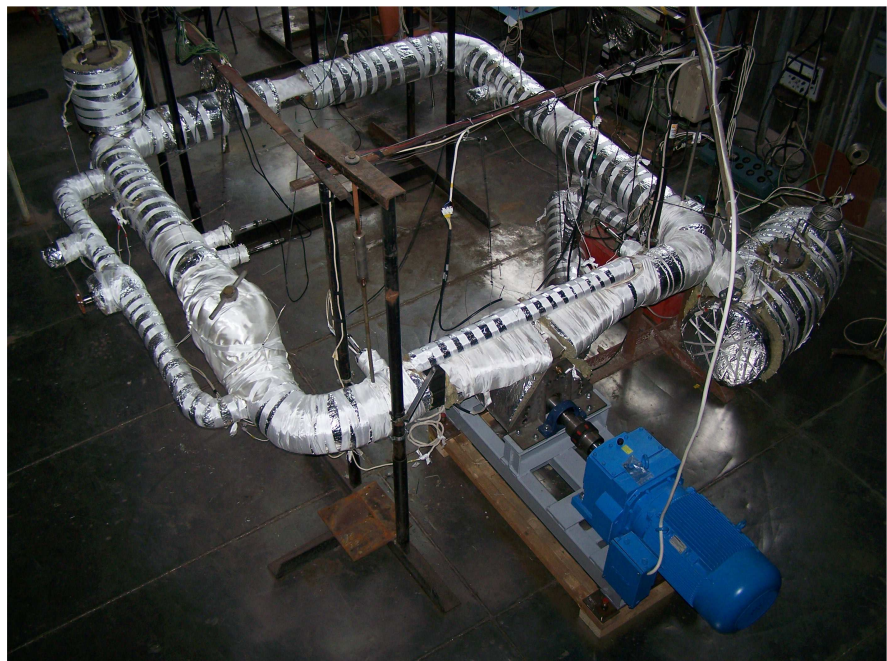
Att. 4.3. Šķidrā metāla rotējošā mērķa moduļa principiālā shēma.

Secinājumi

No šiem apsvērumiem redzams, ka galīga mērķa izvēle prasa nopietnu kā teorētisku, tā arī eksperimentālu izvērtējumu.

Aktivitāte Nr.5. Kompakta mērķa stacijas izveidei ieteikto jauno konstruktīvo risinājumu pārbaude/demonstrācija speciālā stendā.

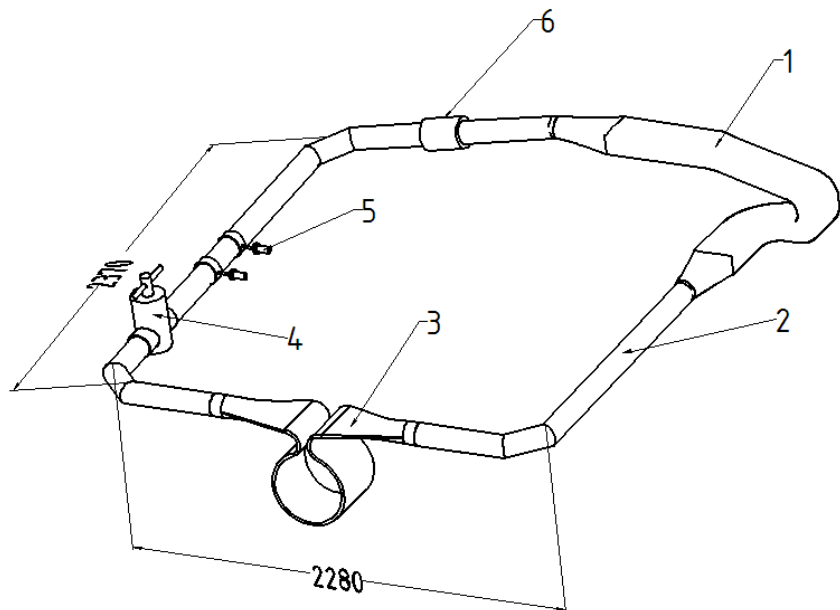
LU Fizikas Institūtā elektromagnētisko sūkņu pārbaudei un testēšanai izprojektēts un izgatavots speciāls stends, att. 5.1. Kā siltumnesējs tajā tiek izmantots svina – bismuta sakausējums. Kontūra darba temperatūra līdz 400°C , caurplūde atkarīga no testējamā sūkņa jaudas.



Att.5.1. Svina – bismuta kontūrs.

Saskaņā ar Aktivitātē Nr.5. plānotajiem darbiem, paredzēts atskaldīto neutronu mērķu testēšanai kā bāzi izmantot esošo svina – bismuta kontūru. Protams, attiecīgi neutronu mērķa ekspluatācijas prasībām, nepieciešama kontūra rekonstrukcija. Kontūra principiālā shēma parādīta att. 5.2. Pirmajā eksperimentu etapā paredzēts testēt METALIC tipa atskaldīto neutronu mērķa moduli. Lai to izdarītu:

- pirmkārt - jāizprojektē un jāizgatavo elektromagnētiskais sūknis, kas nodrošinātu nepieciešamos eksperimenta parametrus - caurplūdi, spiedienu, temperatūru;
- otrkārt – lai instalētu mērķa moduli, attiecīgi jārekonstrūē kontūrs;
- treškārt – jānodrošina, vismaz daļēja, protonu staru kūļa iedarbības imitācija uz mērķa virsmu. Kā to izdarīt – atklāts jautājums.



Att. 5.2. Svina – bismuta kontūra principiālā shēma METALIC mērķa moduļa testēšanai

- 1- Mērķa modulis; 2- PbBi kontūrs (diametrs 108 x 4.0; SS316L); 3- Elektromagnētiskā sūkņa kanāls; 4- Ventīlis; 5- Venturi caurule;
- 6- Electromagnetiskais caurplūdes mērītājs.

Kontūra darba parametri:

Temperatūra, $^{\circ}\text{C}$ līdz 400;

Caurplūde, L/s līdz 11;

Spiediens, bari 4

Izplešanās trauks, sildelementi, šķidrā metāla tvertne, vadības sistēma u.c. elementi un mezgli shēmā nav parādīti.

Secinājumi.

Saskaņā ar aktivitātē paredzētajiem darbiem kā nākošais solis ir svina – bismuta kontūra rekonstrukcija un mērķa moduļa montāža.